



БИООРГАНИЧЕСКАЯ ХИМИЯ

том 10 * № 9 * 1984

УДК 547.455.627'29:543.51

МЕТИЛОВЫЕ ЭФИРЫ

МЕТИЛ(МЕТИЛ- α -D-ГАЛАКТОПИРАНОЗИД)УРОНАТА В УСЛОВИЯХ ЖЕСТКОГО И МЯГКОГО ПРОТОЛИЗА В ГАЗОВОЙ ФАЗЕ

Каденцев В. И., Трушкина И. А., Чижов О. С.,
Гришковец В. И.* Земляков А. Е.* Чирва В. Я.*

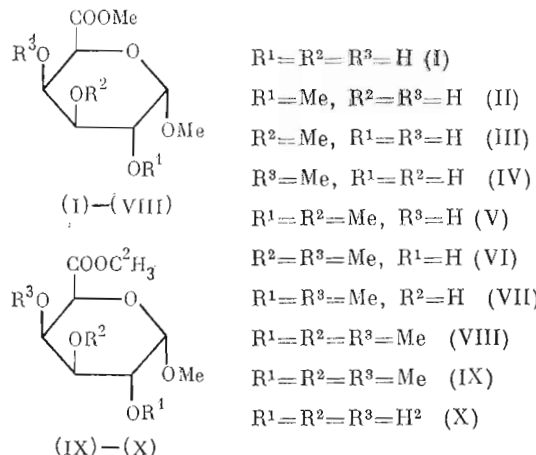
Институт органической химии им. Н. Д. Зелинского Академии наук СССР, Москва;

* Симферопольский государственный университет им. М. В. Фрунзе

Измерены масс-спектры химической ионизации (газы-реагенты – метан и изобутан) и изучены пути фрагментации метиловых эфиров метил(метил- α -D-галактопиранозид)уроната. Установлена большая стабильность гликозильных ионов уронатов по сравнению с нейтральными аналогами.

В работе [1] показано, что в условиях химической ионизации в среде изобутана метил-2,3,4,6-тетра-O-метил- β -D-галактопиранозид протонируется преимущественно по гликозидному атому кислорода, а образующийся протонированный молекулярный ион (MH^+) последовательно элиминирует три молекулы спирта, сопровождаемые отщеплением метоксилов от $C_{(1)}$, $C_{(3)}$ и $C_{(6)}$ соответственно. Это дает основание предположить, что аналогичная последовательность в распаде может сохраниться и для других производных моносахаридов.

В настоящей работе изучено поведение в условиях жесткого и мягкого протолиза в газовой фазе галактопиранозидуронатов (I)–(X) с целью выяснения взаимного влияния функциональных групп на процессы протонирования и оценки аналитических возможностей метода химической ионизации для этих соединений.



В условиях химической ионизации в среде изобутана соединения (I)–(VIII) образуют довольно устойчивые MH^+ -ионы, основное направление распада которых сопровождается элиминированием молекулы метанола (табл. 1). Сравнение ХИМ-спектра уроната (VIII) со спектром метил-

ХИМ-спектр – масс-спектр химической ионизации.

Таблица I

Интенсивности основных пиков в ХИМ-спектрах гликозидов (I)–(X) (в среде изобутана)

Ионы*	(I)			(II)			(III)			(IV)			(V)			(VI)			(VII)				
	<i>m/z</i>		<i>J</i>	<i>m/z</i>		<i>J</i>	<i>m/z</i>		<i>J</i>	<i>m/z</i>		<i>J</i>	<i>m/z</i>		<i>J</i>	<i>m/z</i>		<i>J</i>	<i>m/z</i>		<i>J</i>		
$[M^+ + C_2H_3]^+$	261	0,9	275	1,2	275	0,9	275	1,5	289	0,6	289	1,8	289	1,2	289	1,2	251	24,2	—	—	—		
MH^+	223	17,3	237	17,3	237	10,6	237	47,4	251	6,7	251	100	251	24,2	—	—	—	—	—	—	—	—	
A_1	191	100	205	100	205	100	205	100	219	100	219	100	219	100	219	100	219	100	219	100	219	100	
A_2	173	2,7	187	1,9	173	1,8	187	3,3	187	6,0	187	3,6	155	2,4	155	2,4	155	2,3	169	2,3	169	2,3	
A_3	155	1,0	169	1,6	169	0,8	155	0,8	155	—	155	—	155	—	155	—	155	—	155	—	155	—	
Ионы*	(VIII)			(IX)			(X)			(XI)			(XII)			(XIII)			(XIV)				
	<i>m/z</i>		<i>J</i>	<i>m/z</i>		<i>J</i>	<i>m/z</i>		<i>J</i>	<i>m/z</i>		<i>J</i>	<i>m/z</i>		<i>J</i>	<i>m/z</i>		<i>J</i>	<i>m/z</i>		<i>J</i>		
$[M^+ + C_3H_3]^+$	303	4,4	41,0	303	306	1,7;	265	266	267	265	266	267	226	227	228	229	0,6;	4,4;	0,9	20,2;	5,2;	16,4;	20,8
MH^+	265	100	233	6,3	265	268	45,0;	66,4	75,5;	100	194	195	196,	197	176,	177,	178	176,	177,	178	176,	177,	178
A_1	201	—	169	—	233	236	204,	204	22,	5,1	194	195	196,	197	176,	177,	178	176,	177,	178	176,	177,	178
A_2	—	—	—	—	204	204	—	—	—	—	194	195	196,	197	176,	177,	178	176,	177,	178	176,	177,	178
A_3	—	—	—	—	—	—	—	—	—	—	194	195	196,	197	176,	177,	178	176,	177,	178	176,	177,	178

* Структуры ионов A изображены на схеме.

Таблица 2

Интенсивности основных пиков в ХИМ-спектрах гликазидов (I)–(X) (в среде метана)

Ионы *	(I)		(II)		(III)		(IV)		(V)		(VI)	
	<i>m/z</i>	<i>J</i>										
$[M+C_2H_5]^+$	251	1,1	265	1,8	265	1,9	265	1,7	279	2,3	279	2,5
MH^+	223	1,8	237	4,1	237	1,4	237	2,6	251	1,7	251	8,2
$[M-H]^+$	221	0,8	235	1,0	235	1,7	235	1,8	249	1,3	249	3,8
A_1	191	100	205	100	205	100	205	100	219	61,2	219	92,0
A_2	173	82,6	187	52	173	46,3	187	40,5	187	100	187	100
A_3	155	33,4	169	80,8	155	29,9	155	100	169	100	155	36,0
B	163	8,5	177	12,4	177	3,7	177	32,9	191	9,4	191	9,2
$[B-H_2O]$	145	15,8	159	4,4	159	13,9	159	7,4	173	34,6	—	—
$[B-MeOH]$	134	12,0	145	11,9	145	9,6	145	42,8	159	29,7	144	20,0
$[B-MeOH-H_2O]$	143	14,7	127	8,2	127	6,7	127	26,7	127	144	127	2,0
$[B-2MeOH]$	—	—	—	—	113	6,8	—	—	—	—	13,5	13,5
	159	6,6	173	24,0	187	26,3	173	20,4	201	7,0	201	23,5
Ионы *	(VII)		(VIII)		(IX)		(X)		(XI)		(XII)	
	<i>m/z</i>	<i>J</i>										
$[M+C_2H_5]^+$	279	2,4	293	3,4	293	296	—	—	255	256,	257	2,0;
MH^+	251	1,5	265	2,6	265	268	—	—	—	—	—	2,4;
$[M-H]^+$	249	1,6	263	5,9	263	266	6,1;	7,8	194	195,	196	—
A_1	219	51,8	233	100	233	236	73,8;	100	176	177,	178	54,8;
A_2	201	100	201	78,2	204	204	67,1;	88,6	158	159,	160	100;
A_3	169	6,1	169	4,8	169	172	2,7	—	166	167,	168	44,2;
B	191	40,0	205	25,1	205	208 **	30,4;	18,6	148	149	148	25,9;
$[B-H_2O]$	173	5,8	—	—	173	176 **	42,7;	42,7	135,	132	17,4;	4,2;
$[B-MeOH]$	159	4,0	173	8,4	—	—	—	—	—	—	6,7;	13,2;
$[B-MeOH-H_2O]$	141	4,1	—	—	134	1,0	—	—	—	—	—	8,9;
$[B-2MeOH]$	127	2,4	127	—	—	—	—	—	—	—	—	—
	187	10	—	—	—	—	—	—	159,	—	159,	7,6

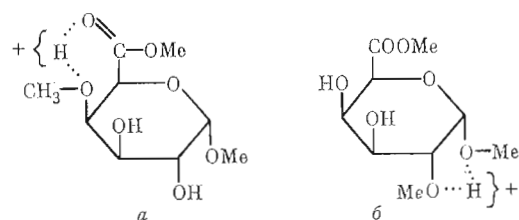
* Структуры ионов А и Б изображены на схеме.

** Вероятно, эти ионы образуются из гликазильного фрагмента, путем миграции – ОС³Н₂–карбоксильной группы к C₁ и последующего отщепления молекулы CO.

2,3,4,6-тетра-О-метил- β -D-галактопиранозида (XI) показало, что замена в молекуле (XI) группы CH_2OCH_3 на метоксикарбонильную (VIII) повышает стабильность $M\text{H}^+$ -иона в 2 раза. Подобная картина наблюдается и в химии растворов: О-метилгликозиды уроновых кислот гидролизуются медленнее, чем соответствующие нейтральные аналоги [2]. Это обстоятельство, очевидно, связано с возможностью протопирирования уронатов по карбонильному кислороду и получения устойчивой структуры. Фрагментация COOCH_3 -группы у исследованных уронатов не вносит существенного вклада в интенсивность пиков ионов $[M\text{H} - \text{CH}_3\text{OH}]^+$, т. е. последние, как и в случае нейтрального аналога (XI), имеют гликозильную структуру. Это подтверждается тем фактом, что в условиях химической ионизации в среде метана и изобутана у уронатов с COOC_2H_5 -группой (IX), (X) интенсивность пиков, соответствующих ионам $[M\text{H} - \text{C}_2\text{H}_5\text{OH}]^+$ невелика (см. табл. 1, 2).

Характер ХИМ-спектров (в среде изобутана) уронатов (I)–(VIII) одинаков: все они содержат главным образом по два интенсивных пика, соответствующих ионам $M\text{H}^+$ и $[M\text{H} - \text{CH}_3\text{OH}]^+$, однако соотношения между этими пиками изменяются в широком диапазоне в зависимости от строения галактоуроната. Так, величина $J_{M\text{H}^+}/J_{[M\text{H} - \text{CH}_3\text{OH}]^+}$ падает в ряду изомеров (IV)>(II)>(III).

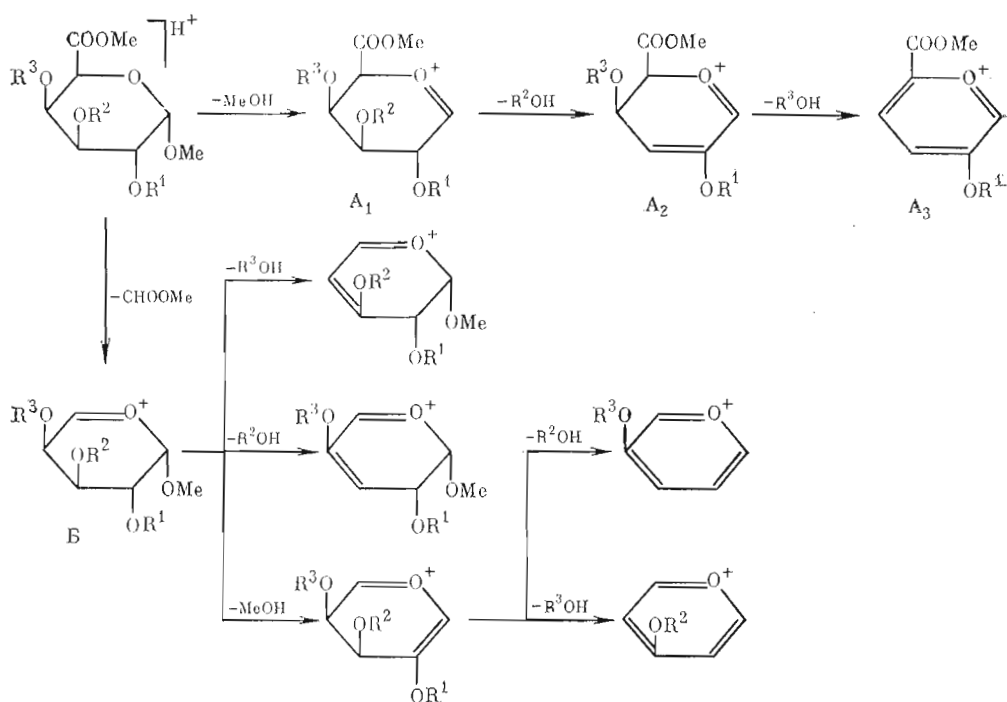
Изомеры с *цикло*-расположением COOMe - и/или OMe -групп более стабильны. По-видимому, это обусловлено образованием хелатных систем типа *a*, *b*, у которых протон одновременно принадлежит двум атомам кислорода, расположенным при различных заместителях.



Аналогичные мостиковые системы наблюдали в работах [3, 4]. Следует отметить, что если метоксильная группа находится в *цикло*-положении по отношению к метоксикарбонильной (ион типа *a*), то эффект повышения стабильности $M\text{H}^+$ -ионов более существенный. Подобная зависимость наблюдается и для изомеров (V)–(VII), устойчивость $M\text{H}^+$ -ионов которых уменьшается в ряду соединений (V)<(VII)<(VI). Для соединения (VI), где возможно образование мостиковой системы заместителями при $\text{C}_{(3)}$, $\text{C}_{(1)}$ и $\text{C}_{(5)}$, эффект стабилизации наибольший (интенсивность пика $M\text{H}^+$ -иона составляет 100%), для соединения (VII) он выражен в меньшей мере ($J_{M\text{H}^+}$ 25%; по-видимому, стабилизация этого иона MeO -группами при $\text{C}_{(3)}$, $\text{C}_{(4)}$ более существенна, чем при $\text{C}_{(1)}$, $\text{C}_{(2)}$), а для соединения (V), в котором возможно образование мостиковой системы только заместителями при $\text{C}_{(1)}$ и $\text{C}_{(2)}$, устойчивость иона $M\text{H}^+$ минимальна ($J_{M\text{H}^+}$ 6,7%).

Необходимо отметить, что фрагменты $[M\text{H} - \text{CH}_3\text{OH}]^+$ соединений (I)–(VIII) способны к дальнейшей фрагментации, которая сопровождается последовательным отщеплением заместителей из положений 3 и 4 – молекулы воды или метанола в зависимости от структуры соединения. Интенсивности этих направлений фрагментации невелики, однако они могут быть успешно использованы для аналитических целей (см. табл. 1).

Применение такого «жесткого» газа-реагента, как метан, приводит к снижению стабильности ионов $M\text{H}^+$ (интенсивность соответствующих им пиков лежит в пределах 1,4–8,2%) и увеличению степени фрагментации. Наблюдаются интенсивные распады, связанные с последовательным элиминированием заместителей из $\text{C}_{(1)}$, $\text{C}_{(3)}$ и $\text{C}_{(4)}$ (табл. 2, схема).



Образующимся ионам A_1 , A_2 , A_3 соответствуют наиболее интенсивные пики в спектре, что позволяет надежно определять характер заместителей в этих положениях.

Распады, обусловленные отщеплением от гликозильного иона заместителей в другой последовательности (см. табл. 2), менее ярко выражены, не вносят существенного вклада в вероятность образования ионов A_2 , A_3 и практически не мешают интерпретации спектров.

Снижение селективности протонирования и увеличение степени возбуждения ионов MH^+ сопровождается появлением дополнительного канала распада (по сравнению с условиями ионизации в изобутане), обусловленного элиминированием заместителей от $C_{(5)}$, причем элиминирование $CHOOME$ происходит от MH^+ -иона. По-видимому, ион $[MH - 60]^+$ является первичным по отношению к фрагментам $[MH - 60 - MeOH]^+$, $[MH - 60 - 2MeOH]^+$, $[MH - 60 - H_2O]^+$, $[MH - 60 - MeOH - H_2O]^+$, которые образуются в условиях жесткого протолиза. Перечисленные реакции протекают достаточно интенсивно и дают надежную информацию о наличии и положении метоксикарбонильной группы в молекуле. Наряду с перечисленными направлениями распада имеются и другие. Так, из ХИМ-спектра соединения (I) видно, что MH^+ -ионы исследованных соединений способны давать ионы, образование которых связано с элиминированием метанола от $C_{(1)}$ и $C_{(6)}$. Интенсивность протекания этой реакции невелика, а образующиеся фрагменты не претерпевают дальнейших распадов. Существенные величины имеют пики ионов $[M - H]^+$ (см. табл. 2). Масс-спектры электронного удара соединений (I)–(VIII) также дают сведения о структуре [5], причем при использовании низких ионизирующих напряжений (12В) удается получать для некоторых из соединений пики молекулярных ионов. Однако вероятности образования наиболее характеристических ионов (M^+ , A_1 , A_2 , A_3) очень малы, что, безусловно, затрудняет интерпретацию спектров.

Информация, которую дают ХИМ-спектры о структуре метиловых эфиров (I)–(VIII), более полная и надежная, интерпретация спектров значительно проще, и, очевидно, использование химической ионизации для идентификации структурных изомеров галактоуронатов более предпочтительно.

Экспериментальная часть

ХИМ-спектры соединений (I) – (X) измеряли на масс-спектрометре Kratos MS-30 при ионизирующем напряжении 100 В. В качестве газа-реагента использовали метан и изобутан при давлении 0,2 мм рт. ст. Температура камеры ионизации 100° С. Использовали систему прямого ввода образцов.

ЛИТЕРАТУРА

1. Соловьев А. А., Каденцев В. И., Чижов О. С. Изв. АН СССР. Сер. хим., 1976, № 10, с. 2256–2261.
2. Бочков А. Ф., Афанасьев В. А., Заиков Г. Е. Образование и расщепление гликозидных связей. М.: Наука, 1978.
3. Каденцев В. И., Поделько А. Я., Чижов О. С., Шостаковский С. М., Воропаева Т. К., Кузнецова Н. М. Изв. АН СССР. Сер. хим., 1978, № 9, с. 2015–2021.
4. Weinkam R. J., Gal J. Org. Mass Spectrom., 1976, v. 11, № 2, p. 188–196.
5. Kovacik V., Mihalov V., Kovac P. Chem. zvesti, 1978, v. 32, № 2, p. 258–266.

Поступила в редакцию
25.XI.1983

METHYL(METHYL- α -D-GALACTOPYRANOSIDE)URONATE METHYL ETHERS UNDER HARSH AND MILD CONDITIONS OF GAS PHASE PROTOLYSIS

KADENTSEV V. I., TRUSHKINA I. A., CHIZHOV O. S.,
GRISHKOVENTS V. I*, ZEMLYAKOV A. E.,* CHIRVA V. Ya.*

*N. D. Zelinsky Institute of Organic Chemistry, Academy of Sciences
of the USSR, Moscow;* M. V. Frunze State University, Simferopol*

Chemical ionization mass spectra (with methane and isobutane as gases-reagents) were obtained and fragmentation patterns examined for methyl ethers of methyl(methyl- α -D-galactopyranoside)uronate. Higher stability of the uronate glycosyl ions as compared to neutral analogues was established.